

М. А. Левин

СТАЦИОНАРНЫЕ И АМПЛИТУДНО-ФАЗО-ЧАСТОТНЫЕ ХАРАКТЕРИСТИКИ ДЛЯ РЕАКЦИЙ КОЛЕСА С ПНЕВМАТИЧЕСКОЙ ШИНОЙ

Лесовозы на колесном ходу с пневмобаллонами подвержены явлению бокового увода, поэтому устойчивость движения и управляемость лесовоза исследуются с привлечением теорий увода М. В. Келдыша и И. Рокара. Нами предложена теория увода [1—5], уточняющая названные. Она приводит к разностным уравнениям, учитывает проскальзывание в области площадки контакта колеса с дорогой и переменность реакций связей, действующих со стороны дороги на колесо.

В настоящей работе с применением ЭВМ получены зависимости для боковой силы и стабилизирующего момента в функции от угла увода колеса при стационарном уводе. Основываясь на сравнении амплитудно-фазо-частотных характеристик по предложенной теории и теории М. В. Келдыша, мы устанавливаем выражения для коэффициентов в теории М. В. Келдыша, которые обычно находятся только опытным путем.

В работе приняты следующие обозначения:

- $r, 2a$ — соответственно радиус шины и длина площадки контакта, m ;
 c_1, c_2 — радиальная и боковая жесткость на единицу длины $2\pi r$, kg/m^2 ;
 N — натяжение периферии шины, kg ;
 μ_1, μ_2 — длина задней и передней области проскальзывания, m ;
 λ_1, λ_2 — отклонения линии качения соответственно на концах задней и передней области проскальзывания, m ;
 λ'_1, λ'_2 — тангенсы угла наклона касательной линии качения к срединной плоскости колеса в точках с отклонениями λ_1 и λ_2 ;
 x, η — координаты, m ;
 $\varepsilon \approx \operatorname{tg} \varepsilon$ — угол увода, rad ;

$$e = \varepsilon/\varepsilon_{\max}, \quad \varepsilon_{0 \max} = \varepsilon_{\max}/g;$$

e_m — значение e , при котором $M = M_{\max}$;

q — давление в плоскости качения дороги на единицу длины площадки контакта, kg/m ;

P, Q — вертикальная нагрузка на колесо и боковая сила, kg ;

$$Q_0 = Q/Q_{\max}, \quad 0 \leq Q_0 \leq 1;$$

M — стабилизирующий момент, kgm ;

$$M_0 = M/M_{\max}, \quad 0 \leq M_0 \leq 1;$$

$$m_{\max} = M_{\max}/(Pfa);$$

f — коэффициент трения скольжения;

$$\tau_0 = 2a \sqrt{\frac{c_2}{N}}, \quad h_0 = \frac{1}{\tau_0}, \quad \sigma_1 = \mu_1/2a, \quad \sigma_2 = \mu_2/2a;$$

$$l_1 = \lambda_1/2a, \quad l_2 = \lambda_2/2a, \quad g = f \frac{c_1 a}{c_2 r} \text{ — безразмерные величины};$$

$$h = 2ah_0 \text{ м};$$

C — проекция центра площадки контакта на срединную плоскость;

A, H — точки на срединной плоскости колеса;

Y, Y_c, Y_H — соответственно ординаты точек A, C и $H, \text{ м};$

ρ — ордината точки на линии качения, соответствующей точке $A, \text{ м};$

θ — угол поворота срединной плоскости, $\text{рад};$

ξ — смещение линии качения от срединной плоскости в точке $C, \text{ м};$

φ — угол между касательной к линии качения и срединной плоскостью в точке, соответствующей точке $C, \text{ рад};$

ρ — параметр изображения по Лапласу;

$\omega, \nu = 2a\omega$ — соответственно частота ($1/\text{м}$) и безразмерная частота;

$A_1(j\nu), A_2(j\nu), A'_1(j\nu), A'_2(j\nu)$ — составляющие комплексных передаточных коэффициентов;

c_b, c_y — соответственно боковая (кг/м) и угловая жесткость шины, $\text{кгм/рад};$

k — коэффициент увода, $\text{кг/рад};$

$\alpha(1/\text{м}^2), \beta(1/\text{м})$ — коэффициенты в теории М. В. Келдыша;

γ — коэффициент, определяющий значения α и β .

Основываясь на результатах работы [1], приводим графики, характеризующие стационарный увод шины. Учитывается проскальзывание в передней и задней областях площадки контакта, радиальная и боковая жесткость шины и натяжение ее периферии. Распределение вертикальной нагрузки по оси площадки контакта принято параболическим. Метод нахождения параметров стационарного увода шины пригоден и при другом законе распределения вертикальной нагрузки. Не учтен момент трения качения и тангенциальная составляющая реакции. Принято, что размеры площадки контакта значительно меньше радиуса колеса, а отклонения линии качения от срединной плоскости колеса существенно меньше длины площадки контакта. Срединная плоскость колеса все время остается перпендикулярной плоскости дороги XOY (рис. 1).

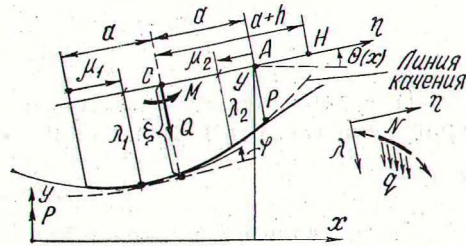


Рис. 1. Схема сил и перемещений в области площадки контакта.

При переходе к безразмерным величинам уравнения (21—25) параграфа 2. 3 в работе [1] принимают следующий вид:

$$l_2 = g(1 - \sigma_2)\sigma_2, \quad (1)$$

$$\lambda'_2 = l_2 \tau_0 + g \tau_0 \left[\left(1 + \frac{2}{\tau_0} \right) \left[\sigma_2 + \frac{1}{\tau_0} \left(e^{-\tau_0 \sigma_2} - 1 \right) \right] - \sigma_2^2 \right], \quad (2)$$

$$-\lambda'_1 = -l_1\tau_0 + g\tau_0\left\{\left(1 + \frac{2}{\tau_0}\right)\left[\sigma_1 + \frac{1}{\tau_0}\left(e^{-\tau_0\sigma_1} - 1\right)\right] - \sigma_1^2\right\}, \quad (3)$$

$$\varepsilon = -\lambda'_2 = -\lambda'_1 = \frac{l_1 - l_2}{1 - \sigma_1 - \sigma_2}, \quad (4)$$

$$Q = \int_0^{2a} q d\eta = 4a^2c_2 \left\{ g \left[\frac{1}{2}(\sigma_1^2 + \sigma_2^2) - \frac{1}{3}(\sigma_1^3 + \sigma_2^3) \right] + \right. \\ \left. + \frac{1}{2}(l_1 + l_2)(1 - \sigma_1 - \sigma_2) \right\}. \quad (5)$$

Для стабилизирующего момента можно записать

$$M = \int_0^{2a} q(a - \eta) d\eta = \frac{2}{3} a^3 c_2 \{ 3g[\sigma_1^2(\sigma_1 - 1)^2 - \sigma_2^2(\sigma_2 - 1)^2] - \\ - 6[l_2 + \varepsilon(0,5 - \sigma_2)](0,5 - \sigma_2)^2 - (0,5 - \sigma_1)^2 \} + \\ + 4\varepsilon[(0,5 - \sigma_2)^3 + (0,5 - \sigma_1)^3]. \quad (6)$$

Для нахождения ε_{\max} необходимо теперь найти

$$\sigma_2 \max = \frac{1}{\tau_0} \ln S, \quad (7)$$

где S определяется как наименьший корень уравнения

$$S^2 e^{-\tau_0} - S \frac{2}{1 + 0,5\tau_0} + 1 = 0. \quad (8)$$

Из уравнения (8) следует, что $S(\tau_0)$ и значит с использованием уравнений (7), (8) и (2) находим

$$\varepsilon_{\max} = g\varepsilon_0 \max(\tau_0). \quad (9)$$

Подставляя в выражение (2) соотношение (1), получаем

$$\varepsilon = g\varepsilon_0(\tau_0, \sigma_2). \quad (10)$$

Приняв $e = \frac{\varepsilon}{\varepsilon_{\max}} = \frac{\varepsilon_0(\tau_0, \sigma_2)}{\varepsilon_0 \max \tau_0}$, где $0 \leq e \leq 1$, находим

$$e = e(\tau_0, \sigma_2), \quad (11)$$

$$\sigma_2 = \sigma_2(\tau_0, e), \quad (12)$$

$$\varepsilon = g\varepsilon_0 \max(\tau_0) e(\tau_0, \sigma_2). \quad (13)$$

Подставляя $l_1 = \varepsilon(1 - \sigma_1 - \sigma_2) + l_2$ из выражения (4) и l_2 из (1) в соотношение (3), получаем уравнение из которого можно найти $\sigma_1 = \sigma_1(\varepsilon_0, \tau_0, \tau_2)$, в которое g не входит и которое в силу зависимостей $\sigma_2(\tau_0, e)$ и $\varepsilon(\tau_0, \sigma_2)$ принимает вид

$$\sigma_1 = \sigma_1(\tau_0, e). \quad (14)$$

При этом

$$l_1 = gl_{10}(\tau_0, e). \quad (14)$$

Подставляя $\sigma_2(\tau_0, e)$, $\sigma_1(\tau_0, e)$, $\varepsilon = g\varepsilon_0(\tau_0, \sigma_2)$, $l_1 = gl_{10}(\tau_0, e)$ и $l_2 = gl_{20}(\tau_0, e)$ в выражения (5) и (6), получаем

$$Q = \frac{2}{3} a^2 c_2 g Q_0(\tau_0, e), \quad (15)$$

$$M = \frac{2}{3} a^3 c_2 g m_{\max}(\tau_0) M_0(\tau_0, e). \quad (16)$$

Здесь $0 \leq Q_0(\tau_0, e) \leq 1$ и $0 \leq M_0(\tau_0, e) \leq 1$.

В силу параболического закона распределения вертикального давления имеем $a = \sqrt[3]{\frac{3Pr}{2c_1}}$, что с учетом $\tau_0 = 1/h_0$ дает

$$\left. \begin{aligned} Q &= PfQ_0(h_0, e), \\ M &= Pfam_{\max}(h_0)M_0(h_0, e), \\ \varepsilon &= g\varepsilon_{0 \max}(h_0)e. \end{aligned} \right\} \quad (17)$$

Таким образом, рассматриваемый подход при определении характеристик стационарного увода колеса приводит к построению зависимостей

$$Q_0(h_0, e), M_0(h_0, e), m_{\max}(h_0), \varepsilon_{0 \max}(h_0),$$

где $0 \leq e \leq 1$.

Нами составлена и отлажена программа на языке АЛГОЛ-60 для нахождения этих зависимостей в соответствии с изложенным выше. Результаты вычислений в виде зависимостей

$$Q_0(h_0, e), M_0(h_0, e), m_{\max}(h_0), \varepsilon_{0 \max}(h_0), e_m(h_0)$$

представлены на рис. 2 и 3.

Отметим, что для построения зависимостей $Q(e)$ и $M(e)$ необходимо знать четыре величины h_0 , Pf , a , g , которые могут быть найдены, например, из эксперимента.

В работах [1—3] получены нелинейные дифференциально- и интегрально-разностные уравнения увода колеса, учитывающие проскальзывание в задней и передней области площадки контакта. В частном случае (при весьма малом проскальзывании, а следовательно, и малых ε , и при малых отклонениях движения от прямолинейного) в работе [3] приводятся линейные уравнения увода:

$$Y(x) - \rho(x) + [\theta(x) - \rho'(x)]h = 0, \quad (18)$$

$$Q(x) = 2c_2(a + h)[Y(x) - a\theta(x)] - c_2 \int_{x-2a}^x \rho(\psi) d\psi - c_2 h[\rho(x) + \rho(x - 2a)], \quad (19)$$

$$\begin{aligned} M(x) = - \left[\frac{2}{3} a^3 c_2 + 2ac_2 h(a + h) \right] \theta(x) - c_2 \int_{x-2a}^x (x - a - \psi) \rho(\psi) d\psi + \\ + c_2 h(a + h)[\rho(x) - \rho(x - 2a)]. \end{aligned} \quad (20)$$

Уравнения (18—20) вытекают из более общих уравнений (15—19) этой работы. При переходе к изображениям по Лапласу при нулевых начальных условиях получаем

$$Q(p) = 2c_2(a+h)[Y(p) - a\theta(p)] + c_2 \left[-2h + \left(h - \frac{1}{p} \right) (1 - e^{-2ap}) \right] \times \frac{Y(p) + h\theta(p)}{1 + hp}, \quad (21)$$

$$M(p) = -2ac_2 \left[\frac{a^2}{3} + h(a+h) \right] \theta(p) + c_2 \left\{ \frac{2a}{p} + \left[h(a+h) - \frac{1}{p} \left(\frac{1}{p} + a \right) \right] (1 - e^{-2ap}) \right\} \frac{Y(p) + h\theta(p)}{1 + hp}. \quad (22)$$

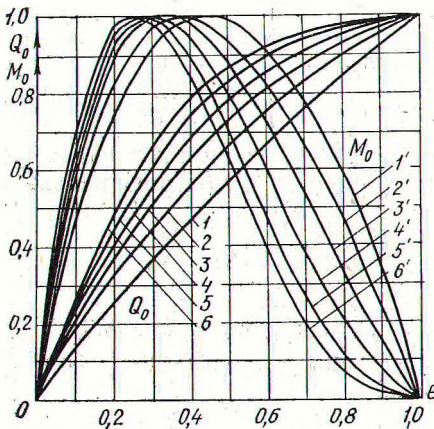


Рис. 2. Графики зависимостей $Q_0(h_0, e; 1-6-h_0=1; 1/3; 1/6; 1/15; 1/45; 1/300$ соответственно) и $M_0(h_0, e; 1'-6'-h_0=1; 1/3; 1/6; 1/15; 1/45; 1/300$ соответственно).

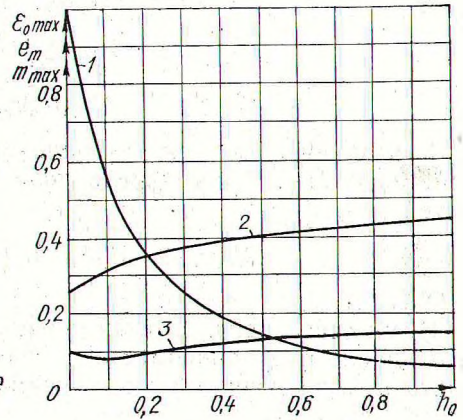


Рис. 3. Графики зависимостей $\epsilon_{0\max}(h_0)$ (1); $e_m(h_0)$ (2); $m_{\max}(h_0)$ (3).

Отметим, что в уравнениях (18—22) Y — ордината точки А. Представляя движение плоскости колеса как поступательное вместе с точкой С и вращательное относительно этой точки, находим $Y_c(x) = Y(x) - a\theta(x)$ что дает

$$Y(p) = Y_c(p) + a\theta(p). \quad (23)$$

Подставляя выражение (23) в (21) и (22), получаем

$$Q(p) = 2c_2(a+h) \{ [1 + A_1(p)] Y_c(p) + (a+h) A_1(p) \theta(p) \}, \quad (24)$$

$$M(p) = 2ac_2 \left[\frac{a^2}{3} + h(a+h) \right] \left\{ \frac{1}{a+h} A_2(p) Y_c(p) + [A_2(p) - 1] \theta(p) \right\}, \quad (25)$$

где

$$A_1(p) = \frac{1}{2(a+h)(1+hp)} \left[-2h + \left(h - \frac{1}{p} \right) (1 - e^{-2ap}) \right], \quad (26)$$

$$A_2(p) = \frac{a + h}{2a \left[\frac{a^2}{3} + h(a + h) \right] (1 + hp)} \times \left\{ \frac{2a}{p} + \left[h(a + h) - \frac{1}{p} \left(\frac{1}{p} + a \right) \right] (1 - e^{-2ap}) \right\}. \quad (27)$$

Представляя движение плоскости колеса как поступательное вместе с центром H и вращательное вокруг него, находим

$$Y_c(p) = Y_H(p) - (a + h)\theta(p), \quad (28)$$

что дает

$$Q(p) = 2c_2(a + h)[1 + A_1(p)]Y_H(p) - (a + h)\theta(p). \quad (29)$$

$$M(p) = 2ac_2 \left[\frac{a^2}{3} + h(a + h) \right] \left\{ \frac{1}{a + h} A_2(p)Y_H(p) - \theta(p) \right\}. \quad (30)$$

При составлении уравнений движения экипажа на деформируемых колесах уравнения (29) и (30) предпочтительнее из-за их простоты.

Из приведенных выражений для $Q(p)$ и $M(p)$ вытекает, что

$$c_6 = 2c_2(a + h), k = 2c_2(a + h)^2, c_y = 2ac_2 \left[\frac{a^2}{3} + h(a + h) \right]. \quad (31)$$

В соответствии с теорией М. В. Келдыша [6] в случае, когда средняя плоскость колеса все время перпендикулярна к плоскости качения, имеем

$$\left. \begin{aligned} \frac{d}{dx} [Y_c(x) - \xi(x)] &= \theta(x) + \varphi(x), \\ \frac{d}{dx} [\theta(x) + \varphi(x)] &= \alpha\xi(x) - \beta\varphi(x), \\ Q(x) &= c_6\xi(x), \quad M(x) = c_y\varphi(x). \end{aligned} \right\} \quad (32)$$

Переходя к изображениям по Лапласу, из уравнений (32) получаем

$$Q'(p) = c_6 \left[\left(1 - \frac{\alpha}{p^2 + p\beta + \alpha} \right) Y_c(p) - \frac{\beta}{p^2 + p\beta + \alpha} \theta(p) \right], \quad (33)$$

$$M'(p) = c_y \left[\frac{\alpha p}{p^2 + p\beta + \alpha} Y_c(p) + \left(\frac{\beta p}{p^2 + p\beta + \alpha} - 1 \right) \theta(p) \right]. \quad (34)$$

Воспользовавшись выражением (28), находим

$$Q'(p) = c_6 \left[\left(1 - \frac{\alpha}{p^2 + p\beta + \alpha} \right) Y_H(p) - (a + h) \times \right. \\ \left. \times \left(1 + \frac{-\alpha + \frac{\beta}{a + h}}{p^2 + p\beta + \alpha} \right) \theta(p) \right], \quad (35)$$

$$M'(p) = c_y \left[\frac{\alpha p}{p^2 + p\beta + \alpha} Y_n(p) - \left(1 + \frac{-\beta p + (a+h)\alpha p}{p^2 + p\beta + \alpha} \right) \theta(p) \right]. \quad (36)$$

Определим коэффициенты α и β так, чтобы выражения (35), (36) и (29), (30) наилучшим образом совпадали по характеру. Тогда необходимо принять, что

$$\beta/\alpha = a + h. \quad (37)$$

Отметим, что $\frac{\beta}{\alpha} = \frac{2c_2(a+h)^2}{2c_2(a+h)} = \frac{k}{c_6}$. Последнее совпадает с результатом работы Я. М. Певзнера [7].

Теперь выражения (35) и (36) можно представить в форме выражений (29) и (30):

$$Q'(p) = c_6 \{ [1 + A'_1(p)] Y_n(p) - (a+h)\theta(p) \}, \quad (38)$$

$$M'(p) = c_y \left\{ \frac{1}{a+h} A'_2(p) Y_n(p) - \theta(p) \right\}, \quad (39)$$

где

$$A'_1(p) = - \frac{\alpha}{p^2 + p\beta + \alpha}, \quad (40)$$

$$A'_2(p) = \frac{\beta p}{p^2 + p\beta + \alpha}. \quad (41)$$

Так как размерность p длина⁻¹ то из знаменателя последних выражений (40) и (41) находим, что α и β должны иметь вид

$$\alpha = \frac{\gamma}{(a+h)^2}, \quad \beta = \frac{\gamma}{a+h}, \quad (42)$$

где γ устанавливается из сравнения выражений $A_1(p)$ и $A'_1(p)$ либо $A_2(p)$ и $A'_2(p)$ по какому-либо критерию, так как эти выражения не могут совпадать точно при любом p .

Таким образом, видно, что γ определяется неоднозначно и в зависимости от того, как учитывается близость и какие выражения $A_1(p)$ или $A_2(p)$, γ получает разные значения. Такое же положение должно возникнуть и при использовании данных эксперимента.

В дальнейшем нам понадобятся комплексные передаточные коэффициенты. Для их нахождения найдем $A_1(jv)$, $A_2(jv)$, $A'_1(jv)$, $A'_2(jv)$, заменив в выражениях (26) и (27), (40) и (41) p на $j\omega = j \frac{v}{2a}$. Получаем

$$A_1(jv) = \frac{1}{(1+2h_0)(1+h_0^2v^2)} \left\{ -2h_0 \cos v - \left(\frac{1}{v} - h_0^2v \right) \sin v + \right. \\ \left. + j \left[(1 - \cos v) \left(\frac{1}{v} - h_0^2v \right) + 2h_0 \sin v + 2h_0^2v \right] \right\}, \quad (43)$$

$$A_2(jv) = \frac{0,5 + h_0}{\left[\frac{1}{12} + h_0(0,5 + h_0) \right] (1 + h_0^2 v^2)} \left\{ -h_0 + \left(h_0^2 + h_0 + \frac{1}{v^2} \right) \times \right. \\ \times (1 - \cos v) - \left[\frac{1}{2v} - h_0^2(0,5 + h_0)v - \frac{h_0}{v} \right] \sin v + j \left[-\frac{1}{v} + \right. \\ \left. + \left(\frac{1}{2v} - h_0^2(0,5 + h_0)v - \frac{h_0}{v} \right) (1 - \cos v) + \left(h_0^2 + h_0 + \frac{1}{v^2} \right) \sin v \right] \left. \right\}, \quad (44)$$

$$A'_1(jv) = \frac{1}{\left[\frac{v^2(0,5 + h_0)^2}{\gamma} - 1 \right]^2 + (0,5 + h_0)^2 v^2} \times \\ \times \left[\frac{v^2(0,5 + h_0)^2}{\gamma} - 1 + j(0,5 + h_0)v \right]. \quad (45)$$

$$A'_2(jv) = \frac{(0,5 + h_0)v}{\left[\frac{v^2(0,5 + h_0)^2}{\gamma} - 1 \right]^2 + (0,5 + h_0)^2 v^2} \times \\ \times \left[(0,5 + h_0)v + j \left(1 - \frac{v^2(0,5 + h_0)^2}{\gamma} \right) \right]. \quad (46)$$

Определим γ , например, из совпадения выражений $1 + A_1(jv)$ и $1 + A'_1(jv)$ при малых значениях v . Приравнявая выражения (43) и (45), в которых оставлены члены порядка не выше v^2 , находим

$$\gamma = \frac{3}{1 - \left(\frac{h_0}{0,5 + h_0} \right)^2}. \quad (47)$$

Этой формуле для γ соответствует таблица

h_0	0	1/3	1/2	1	3/2
γ	3	3,20	3,43	4,27	5,17

Значения γ по этой формуле, справедливой при малых v , качественно хорошо согласуются с результатом работы Я. М. Певзнера [7]. У шины типа «Р» брекер испытывает относительно большее натяжение, что приводит к большим значениям h_0 , а следовательно, и γ по приведенной выше формуле.

Можно искать γ исходя из критерия, заключающегося в наименьшем квадратичном отклонении комплексных передаточных коэффициентов по обем теориям в определенной области изменения v . В результате вычислений на ЭВМ «ОДРА 1204» оказалось, что для значений $h_0 = 1/3, 1/6, 1/15, 1/45$ при изменении v в области от 0 до $1/10, 1/2, 1, 2$,

3, 4, 5, 6, 8, 10 значение γ изменялось от 3,20 до 1,86. Амплитудно-частотные характеристики по обеим теориям представлены на рис. 4.

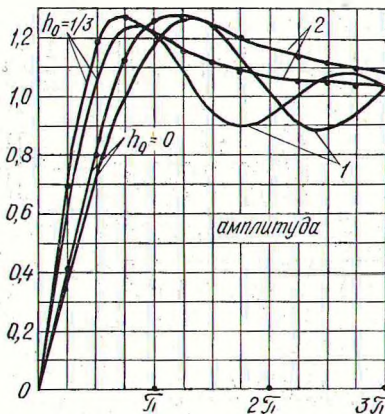


Рис. 4. Амплитудно-частотные характеристики по выражениям $1+A_1(j\nu)$ и $1+A_1'(j\nu)$ 1 — зависимость $1+A_1(j\nu)$ (разностные уравнения); 2 — зависимость $1+A_1'(j\nu)$ при $\gamma=2$ (М. В. Келдыш).

В заключение отметим, что другой способ нахождения γ непосредственно из выражений (32) приводит к значению

$$\gamma = \frac{2}{1 - \left(\frac{h_0}{0,5 + h_0}\right)^2}$$

Литература

- [1] М. А. Левин. Новая теория бокового увода колеса, приводящая к интегрально-разностным или дифференциально-разностным уравнениям. В сб.: Мат-лы секции теоретической и прикладной механики. 25 конф. Белорусск. политехн. ин-та. Минск, 1969. [2] М. А. Левин. Определение боковой силы увода и момента, действующих на колесо автомобиля со стороны дороги. Тезисы научн.-техн. конф. молодых ученых Белоруссии. Техн. науки. Минск, 1969. [3] М. А. Левин. Нестационарный увод колеса с учетом проскальзывания в области контакта. В сб.: Мат-лы секции теоретической и прикладной механики. 26 конф. Белорусск. политехн. ин-та. Минск, 1970. [4] М. А. Левин. Примеры определения условий самовозбуждения автоколебаний в системах с деформируемым колесом. Там же. [5] М. А. Левин. Теория движения деформируемого колеса при отсутствии увода, приводящая к разностным уравнениям. Там же. [6] Ю. И. Неймарк, Н. А. Фурфев. Динамика неавтономных систем. М., 1967. [7] Я. М. Певзнер. О качении автомобильных шин при быстро меняющихся режимах увода. «Автомобильная промышленность», 1968, № 6.